

## 間ゲキ水圧の発生のズレ

近畿大学理工学部 正員 中野 坦

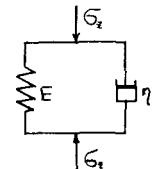
三軸試験機による圧密試験において、載荷に対応する過剰間ゲキ水圧、変形が時間的ズレを伴って起る。一般に、せんらぎが充分に平衡するのに数時間要するから、その間は非排水状態を保持した後、排水コップを廻して圧密試験に移る。このように時間の浪費を避けて、載荷と同時に圧密試験を開始した場合、試験結果にどのような影響を与えるかを調べることにした。

### (i) 間ゲキ水圧発生のズレを表わす近似式

三軸試験試料に非排水状態で載荷が行なわれたとき、そこに発生する過剰間ゲキ水圧は瞬間に上昇するのではなく、時間と共にその上昇率を遮減する形で発生する。

この事象は、同時に試料の鉛直変形の生起過程においても見られ、両者の間に相関関係があるようと思われる。そこで、変形に際して遅れを生ずるよう構造模型として図-1に示すVoigt型の力学モデルを考える。このモデルにおいて $G_1$ を一定とすると

$$\epsilon_{z(t)} = \epsilon_{z(\infty)} \left\{ 1 - \exp(-\frac{E}{G_1} t) \right\} \quad (i. a)$$



で表わされる。いま、間ゲキ水圧の発生において生ずるズレについても、同様の関係式が成り立つとすれば、ある時間の間ゲキ水圧は

$$u_{1t} = u_0 \left\{ 1 - \exp(-\alpha t) \right\} \quad (i. b)$$

図-1 Voigt型モデル

と書くことができる。この式を使って試験結果と対応させたところ、かなりの精度で近似させ得ることを確めた。

### (ii) 間ゲキ水圧発生のズレを考慮した放射流れの理論式

図-2に放射流れの圧密を受ける試料の平均間ゲキ水圧を至過時間に対する示した。図中の実線は、載荷の瞬間にありて間ゲキ水圧が上昇し、次の瞬間にから圧密が開始される場合を示す。一実線は非排水状態の試料に載荷を行なったとき見られる間ゲキ水圧の発生の至時変化を示す。

実線は載荷と同時に排水状態にした試料が示す間ゲキ水圧変化を表している。この場合、間ゲキ水圧の上昇と並行して圧密による減少が起るから慣行の定義による初期間ゲキ水圧は剥離しないで遮減が始まる。そして、載荷後、非排水状態で数時間放置して間ゲキ水圧が充分に生じた後、圧密を開始した場合(実線)と比較して遅れる。そこで、この遅れを調べるために理論解を導ぶく。この問題は間ゲキ水圧発生の過程で、その量が時間的に変化するのであるから単増荷重を受ける圧密理論を適用すれば良い。

外向きの放射流れに対するこの場合の解は、

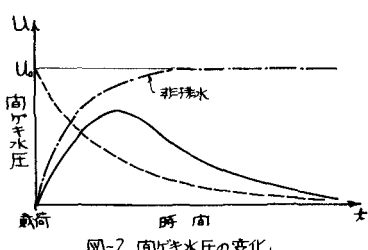


図-2 間ゲキ水圧の変化

$$U_{(r,t)} = 2 \sum_{i=1}^{\infty} \frac{U_i}{m_i J_i(m_i)} J_0\left(\frac{m_i r}{R}\right) e^{-m_i^2 T} + 2 \sum_{i=1}^{\infty} \frac{1}{m_i J_i(m_i)} J_0\left(\frac{m_i r}{R}\right) \int_0^T \frac{\partial U}{\partial T} e^{-m_i^2(T-t)} dt \quad (2)$$

ここに,  $T = C_v t / R^2$ ,  $R$  = 試料の半径,  $m_i = 0$  順のオイラー種 Bessel 関数の零点, (2)式において初期条件として  $|U|_{t=0} = U_i = 0$ , また, 先に求めた(1. b)式より  $U_{(r,t)} = U_0 \beta \exp(-\beta T)$ , こゝで  $\beta = \alpha R^2 / C_v$ , と置くと

$$U_{(r,t)} = 2 U_0 \sum_{i=1}^{\infty} \frac{1}{m_i J_i(m_i)} J_0\left(\frac{m_i r}{R}\right) \frac{\beta}{\beta - m_i^2} (e^{-m_i^2 T} - e^{-\beta T}) \quad (3)$$

が得らる, ある時間の圧密による体積変化量は

$$\Delta V_{(t)} = m_v \nabla U_0 \quad (4)$$

$$= 1 - 1 - e^{-\beta T} - \sum_{i=1}^{\infty} \frac{4\beta}{(\beta - m_i^2) m_i^2} (e^{-m_i^2 T} - e^{-\beta T})$$

によつて算定さる。 $\beta$  の種々の値について計算すると図-3 のようである。

### (iii) 実験結果と考察

同一の試料を使って, 1 個の試料について非排水状態で載荷を行ひ, 1 日間放置して間ゲキ水圧変化を観測して  $\beta$  を定める。次に圧密を行ひ, 圧密係数を定める標準的の手法による試験を行ひ, た。いま 1 個の試料については, 排水状態で載荷を行ひ, 同時に圧密を起させる試験を行ひ, た。

後者の試験結果を前者によつて求めたパラメータを使って解析し, 理論値と実測値とが割合によく合致することがわかつた。実験によつて観測された  $\beta$  値は 2.95 ~ 4.3 と広範に分布した。したがつて, 間ゲキ水圧の発生のズレを無視して解析を行ひ, た場合,  $C_v$  の値を  $1 \sim 1.5$  に見積ることが起り得る。

また, この比較試験において, 両者において起る鉛直ヒズミの比較を行ひ, たところ, 前者に比べて後者の値が小さく, 极端な例では 50% にも達するものも観測した。

試験結果より次のことがわかつた。

地盤中の土塊では間ゲキ水圧の発生のズレが圧密の時間に比べて無視し得る程小さいとするならば,

(1) 圧密試験は非排水状態で載荷し, 間ゲキ水圧が平衡するまで放置した後に行はねなければならぬ。放置時間は試料によって異なるけれども, 安全を期すためにには 1 日を要する。

(2) こゝと同様の現象が標準圧密試験においても起るものと思われる。ところで, この試験では非排水状態になし得ないから試験結果の誤差の原因となるであらう。

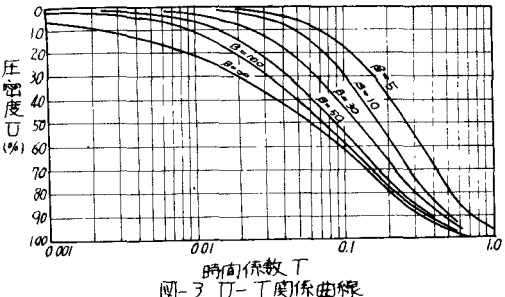


図-3 U-T関係曲線